

# 現場打ちコンクリートの溶出とその水質に及ぼす影響

京都大学工学部 正員 岩井重久

○正員 井上頼輝

長尾正悟

## 1. はじめに

塵芥の埋立地や廃水の地下注入処理によつて、最近よく地下水の汚染が問題になつてきたり。本研究は、現場打ちコンクリートから漏出する石灰分、アルカリによる地下水の汚染を研究したものである。コンクリートを水中に打設すると、セメントを構成する諸成分がセメント固化時、および固化後も少時漏出する二種類、新しい水槽に金魚を入れると死ぬ二種類と知られてゐる。このセメント漏出分が、地下水の水質を変えることが予想される。そこで、まずコンクリートをメスリング一中に打設して漏出するアルカリやカルシウムを測定し、ついで模型地盤中にコンクリートを打設して地下水を流れ、水質の変化を測定した。

## 2. 従来の研究

コンクリートを水中に打設した場合、どのような成分が水中に漏出するかは、まだ十分に明らかでない。セメントは表-1に示す通り、 $\text{SiO}_2$ ,  $\text{Al}_2\text{O}_3$ ,  $\text{Fe}_2\text{O}_3$ ,  $\text{CaO}$ ,  $\text{MgO}$ ,  $\text{Na}_2\text{O}$ ,  $\text{K}_2\text{O}$ などの混合体であり、これが水を加えて固化させると水和反応によって複雑で、 $\text{Ca}(\text{OH})_2$ ,  $\text{Al}(\text{OH})_3$ ,  $\text{CaSO}_4$ 等の晶晶を生成する。セメントの固化はまだ化学的に十分解明されていない。

竹本等<sup>(1)</sup>は、セメント:砂 = 1:3(豊浦標準砂)、水セメント比 0.8 のセメントモルタルを 1 × 1 × 7 cm の小型供試体を作り、成型後 24 時間湿潤中養生し後、脱型し、養生水として蒸留水を用い、供試体と養生水との容積比を 1:10 とし、毎日一定時間に養生水をとりかえさせ、pH および  $\text{CaO}$  濃度を測定した。普通ポルトランドセメントについてみると、材令 1 日(成型後 2 日)で pH 11.55 ~ 11.85, 材令 6 月で 7.9 ~ 8.7 であり、材令とともに pH は減少する。すなわち、アルカリ漏出は時間的に減少する二種類がある。石灰漏出率は、第 1 日(成型後 2 日)で 380 mg/l, 以後急激に減少し、28 日で 20 ~ 35 mg/l となり、それ以後漸減している。この状態を図-1 に示す。また、 $\text{Ca}(\text{OH})_2$  の解離恒数と pH を比較した結果、材令 10 日で 13 アルカリと石灰が、それ以後は主として石灰が漏出する二種類を指摘している。なおこのようなセメント中成分の水中への漏出は、強度にはほとんど影響を及ぼさないとも報じている。

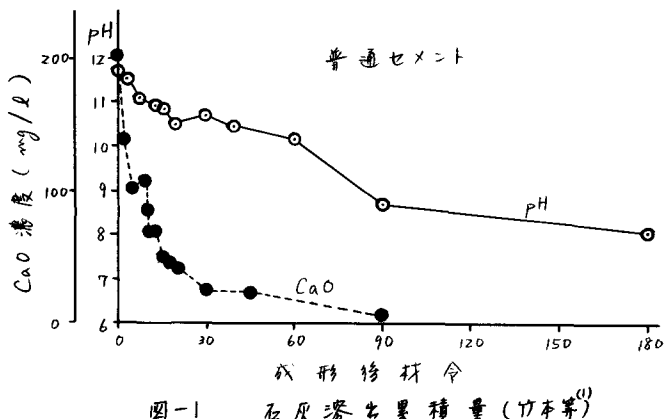


図-1 石灰漏出累積量(竹本等)<sup>(1)</sup>

竹本の実験は、空気中で成型されたセメントモルタルからの有効成分の溶出につけたものであり、現場打ちコンクリート杭などの場合は、生コンクリートが地下水中に打設せられ、コンクリートは水中で固化するものである。本研究の場合と実験条件は少し異なる。

表-1 普通ポルトランドセメント試験成績表  
昭和43年11月15日

化学成分

| 種別                  | 強熱減量(%) | 不溶残分(%) | シリカ(%) | アルミナ(%) | 酸化チニウム(%) | 酸化カルシウム(%) | マグネシア(%) | 重水硫酸(%) | 合計(%) | 水硬率  | 珪酸率 | 鉄率  | 活動度数 |
|---------------------|---------|---------|--------|---------|-----------|------------|----------|---------|-------|------|-----|-----|------|
| 普通<br>ポルトランドセメント    | 0.5     | 0.1     | 22.0   | 5.6     | 3.2       | 64.9       | 1.2      | 1.5     | 99.0  | 2.07 | 2.5 | 1.8 | 3.9  |
| JIS R5210<br>(1964) | <4.0    |         |        |         |           |            | <5.0     | <2.5    |       |      |     |     |      |

物理的性質

| 種別                  | 比重    | 粉末度                          |              | 凝結    |         |         |       | 安定性   |    | 強度 |     |                         |                         |      |      |      |     |
|---------------------|-------|------------------------------|--------------|-------|---------|---------|-------|-------|----|----|-----|-------------------------|-------------------------|------|------|------|-----|
|                     |       | 比表面積<br>(cm <sup>2</sup> /g) | 88μ<br>残分(%) | 水量(%) | 始常(時一分) | 終結(時一分) | 沸湯(℃) | 湿度(%) | 浸水 | 煮沸 | フロ  | 曲げ(kg/cm <sup>2</sup> ) | 圧縮(kg/cm <sup>2</sup> ) | 3日   | 7日   | 28日  | 3日  |
| 普通<br>ポルトランドセメント    | 3.15  | 3060                         | 1.7          | 26.7  | 2-36    | 3-43    | 20.0  | 84    | 良  | 良  | 238 | 30.6                    | 47.6                    | 70.8 | 119  | 222  | 410 |
| JIS R5210<br>(1964) | >3.05 | >2300                        | <10          |       | >1-00   | <10-00  | 20±3  | >80   | 良  | 良  | >15 | >25                     | >40                     | >55  | >110 | >220 |     |

3. 水セメント比が溶出に及ぼす影響

現場打ちコンクリート杭から溶出するアルカリ分による地下水の汚染を研究することは多くの要素がからみ合って複雑であるから、初期条件を知る意味でコンクリートを蒸留水と接触させ、溶出する  $\text{Ca}^{++}$ ,  $\text{OH}^-$ ,  $\text{CO}_3^{--}$ ,  $\text{HCO}_3^-$  の量および養生水の pH を測定した。実験は、まず水セメント比が溶出に及ぼす影響を調べ、つづいてコンクリートよりアルカリおよびカルシウムの溶出量は、地下水とコンクリートとの接触面積に關係するのか、あるいは打設コンクリートの体積が重要なのかを比較実験により知り、最後に、模型地下水中に生コンクリートを打設して、地下水の水質の変化を観察した。

3.1 実験方法

試料として表-1のセメントを用い、砂利：砂：セメントの 3.11 Kg : 1.64 Kg : 1 Kg の割合で配合して、W/C = 0.6, 0.55, 0.5, 0.45, 0.4 の 5 様階のコンクリートを作り、これを直径 6.4 cm, 長さ 40 cm の 1 l メスシリニーダー中に 500 cc (厚さが約 15 cm となる) 打設し、打設後直ちにその上にコンクリートが静かに蒸留水を 500 ml 加え、さらに空気中より炭酸ガスが蒸留水中に入らないよう、水面を流动パラフィンで封じ、蒸留水を 1, 3, 5, 8, 12, 24 時間、2, 3, 4, 5, 6, 7, 8, 9, 10 日および 2 週間、3, 5, 10 週間毎に交換して、溶出する  $\text{OH}^-$ ,  $\text{HCO}_3^-$ ,  $\text{CO}_3^{--}$ ,  $\text{Ca}^{++} + \text{Mg}^{++}$  を測定した。参考のため、一部では電気電導度計 (柳本 MY 型) を用いて電導度を測定した。温度変化の影響をうけないため、実験は 20°C 恒温室内で実施し、交換用の蒸留水も長時間実験室内に貯留して、20°C で保持できる努力をした。打

設コンクリートの状態を写真-1に示す。

### 3. 2 実験結果

養生水の水量 (ml), pH,  $\text{Ca}^{++} + \text{Mg}^{++}$  (meq/l),  $\text{SO}_4^{--}$  (meq/l), アルカリ度 ( $\text{OH}^-$ ,  $\text{CO}_3^{--}$  meq/l), 電導度など以上の結果から求めた  $\text{Ca}^{++} + \text{Mg}^{++}$ ,  $\text{OH}^-$ ,  $\text{CO}_3^{--}$ , Total Alkalinity の溶出量, 累積溶出量, 溶出速度を一例として、水セメント比 0.4 の場合について図-2 と図-3 を示す。また pH 及び  $\text{Ca}^{++} + \text{Mg}^{++}$  累積溶出量の週変化を図-3 に示す。

pH は実験中以前後で変化せず、W/C 比 0.4 としつつも

徐々に  $\text{Ca}^{++} + \text{Mg}^{++}$  の溶出速度は最初の 1 時間は 3.5 ~ 1.4 meq/cm<sup>2</sup>·day と大きな値をとるが、急激に減少し、1 日後には 0.2 ~ 0.1 meq/cm<sup>2</sup>·day となる。溶出速度は W/C 比の影響は初期ほど大きい、W/C 比が大きくなると溶出速度が大きくなる。しかし、時間とともに小さくなり、1 日後には W/C

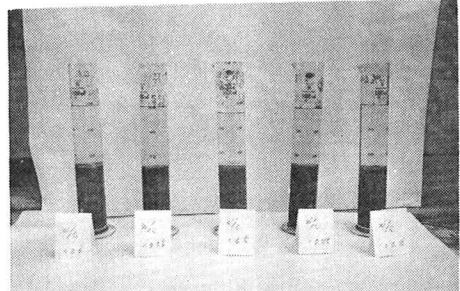


写真-1

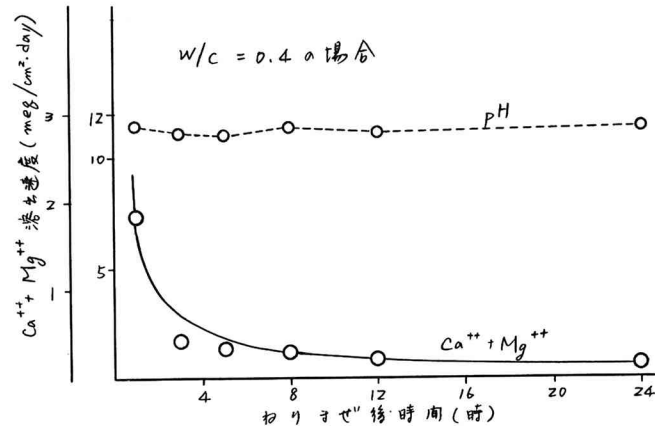


図-2 pH 及び  $\text{Ca}^{++} + \text{Mg}^{++}$  溶出速度 (W/C = 0.4 の場合)

### 表-2 コンクリートよりの薬物の溶出

水セメント比 0.40, 体積 490 cm<sup>3</sup>, 重量 1114 g, 水の接觸面積 32.2 cm<sup>2</sup>, 水温 20°C

| ねり<br>まぜ後<br>時間<br>(mL) | 水量  | $\text{Ca}^{++} + \text{Mg}^{++}$ |                  |                                  | $\text{OH}^-$ |                  |                                  | $\text{CO}_3^{--}$ |                  |                                  | 全 Alkalinity |                  |                                  |
|-------------------------|-----|-----------------------------------|------------------|----------------------------------|---------------|------------------|----------------------------------|--------------------|------------------|----------------------------------|--------------|------------------|----------------------------------|
|                         |     | 溶出量<br>meq                        | 累積<br>溶出量<br>meq | 溶出速度<br>meq/cm <sup>2</sup> /day | 溶出量<br>meq    | 累積<br>溶出量<br>meq | 溶出速度<br>meq/cm <sup>2</sup> /day | 溶出量<br>meq         | 累積<br>溶出量<br>meq | 溶出速度<br>meq/cm <sup>2</sup> /day | 溶出量<br>meq   | 累積<br>溶出量<br>meq | 溶出速度<br>meq/cm <sup>2</sup> /day |
| 1 hr                    | 500 | 1.38                              | 1.38             | 1.84                             | 1.16          | 1.16             | 1.55                             | 0.330              | 0.330            | 0.439                            | 1.49         | 1.49             | 1.99                             |
| 3                       | 450 | 0.637                             | 2.02             | 0.424                            | 0.701         | 1.86             | 0.466                            | 0.149              | 0.479            | 0.0988                           | 0.849        | 2.34             | 0.565                            |
| 5                       | 480 | 0.472                             | 2.49             | 0.314                            | 0.477         | 2.34             | 0.317                            | 0.158              | 0.637            | 0.105                            | 0.636        | 2.98             | 0.423                            |
| 8                       | 500 | 0.640                             | 3.13             | 0.284                            | 0.638         | 2.98             | 0.283                            | 0.089              | 0.726            | 0.0392                           | 0.727        | 3.70             | 0.322                            |
| 12                      | 490 | 0.553                             | 3.68             | 0.184                            | 0.645         | 3.62             | 0.214                            | 0.095              | 0.821            | 0.0315                           | 0.739        | 4.44             | 0.246                            |
| 24                      | 494 | 1.19                              | 4.87             | 0.132                            | 0.745         | 4.37             | 0.0826                           | 0.473              | 1.29             | 0.0525                           | 1.22         | 5.66             | 0.135                            |
| 2 日                     | 471 | 1.30                              | 6.17             |                                  | 1.09          | 5.46             | 0.0605                           | 0.364              | 1.66             | 0.0202                           | 1.46         | 7.12             | 0.0807                           |
| 3                       | 485 | 1.20                              | 7.37             | 0.664                            | 1.18          | 6.64             | 0.0655                           | 0.145              | 1.80             | 0.00801                          | 1.33         | 8.45             | 0.0735                           |
| 4                       | 455 | 0.746                             | 8.12             | 0.413                            | 0.713         | 7.35             | 0.0395                           | 0.183              | 1.99             | 0.0101                           | 0.902        | 9.35             | 0.0500                           |
| 5                       | 480 | 0.815                             | 8.93             | 0.452                            | 0.736         | 8.09             | 0.0408                           | 0.135              | 2.12             | 0.00748                          | 0.871        | 10.2             | 0.0483                           |
| 6                       | 473 | 0.622                             | 9.56             | 0.0345                           | 0.592         | 8.68             | 0.0328                           | 0.091              | 2.21             | 0.00506                          | 0.678        | 10.9             | 0.0376                           |
| 7                       | 480 | 0.562                             | 10.1             | 0.0311                           | 0.506         | 9.18             | 0.0280                           | 0.112              | 2.32             | 0.00621                          | 0.618        | 11.5             | 0.0345                           |
| 8                       | 470 | 0.809                             | 10.9             | 0.0448                           | 0.342         | 9.53             | 0.0190                           | 0.110              | 2.43             | 0.00610                          | 0.452        | 12.0             | 0.0251                           |
| 9                       | 479 | 0.394                             | 11.3             | 0.0218                           | 0.317         | 9.84             | 0.0176                           | 0.111              | 2.55             | 0.00615                          | 0.428        | 12.4             | 0.0237                           |
| 10 日                    | 492 | 0.316                             | 11.6             | 0.0175                           | 0.356         | 10.2             | 0.0197                           | 0.071              | 2.62             | 0.00395                          | 0.427        | 12.8             | 0.0237                           |
| 2 週間                    | 499 | 0.741                             | 12.4             | 0.0103                           | 0.635         | 10.8             | 0.00835                          | 0.169              | 2.79             | 0.00234                          | 0.804        | 13.6             | 0.0111                           |
| 3                       | 503 | 0.806                             | 13.2             | 0.00638                          | 0.741         | 11.6             | 0.00587                          | 0.166              | 2.95             | 0.00131                          | 0.907        | 14.5             | 0.00718                          |
| 5                       | 494 | 0.989                             | 14.2             | 0.00392                          | 1.00          | 12.6             | 0.00397                          | 0.189              | 3.14             | 0.000748                         | 1.19         | 15.7             | 0.00472                          |
| 10                      | 545 | 1.69                              | 15.9             | 0.00268                          | 2.00          | 14.6             | 0.00316                          | 0.355              | 3.50             | 0.000562                         | 2.35         | 18.1             | 0.00553                          |

比  $\text{Ca}^{++} + \text{Mg}^{++}$  の濃度の差は見られなくなり、アルカリ度溶出速度も同様である。

$\text{Ca}^{++} + \text{Mg}^{++}$  の量、アルカリ度累積溶出量についてみると、最初の 8 時間以内における溶出量に対する W/C 比の影響は大きい、W/C 比が大きいと溶出量も大きいが、その影響は時間とともに小さくなる。ここで、興味深いことは、最初の 2~3 時間に亘るコンクリートはまだよく液体であり、やがて硬化を始めると、硬化の始まり、終結まで

溶出速度曲線が不連続な変化があるかと予想していいが、そのようなことは見られない。 $\text{Ca}^{++} + \text{Mg}^{++}$ 、アルカリ度のコンクリートからの溶出は 10 時間をこなすとほぼ終りである。アルカリ度の中には  $\text{CO}_3^{--}$  が多少とも混在しているが、本来コンクリート中に  $\text{CO}_3^{--}$  は存在しないはずであるから、セメントがある程度風化していながらと推察される。

### 3.3 考察

セメントからのアルカリによる  $\text{Ca}^{++} + \text{Mg}^{++}$  の溶出はコンクリート体の表面に存在するセメントが直接水に溶解する場合、コンクリートの化学物質が拡散により液中に出てくる場合、およびコンクリート体とのものが水和反応により化学的に変化して溶出してくれる場合の 3 つに分けて考える必要がある。また、コンクリートの表面からセメント成分が脱出する場合を考えると、溶出速度を決定するものは、コンクリートと水の接触境界層(厚さ  $\delta$ ) 内の拡散であり、コンクリート中溶出物質濃度を  $C_0$ 、液中の濃度を  $C$ 、拡散係数を  $D'$  とし、境界層中ににおける濃度匀配を直線と近似すると、单位接觸面積当たりの溶出速度  $F$  は Pick の法則より

$$F = \frac{D'(C_0 - C)}{\delta} = D(C_0 - C) \quad (1)$$

である。ここで  $D' (= \frac{D}{\delta} \text{ cm/sec})$  は種々の因子によって支配される係数であり、溶離係数である。ここで  $C_0$  は時間に關係せず一定とみてよし、しかもその値は  $\text{g}/\text{ml}$  のオーダーであるに対し、 $C$  は実験結果からわかることは、せいぜい  $10^6 \text{ ppm} = 10^{-4} \text{ g}/\text{ml}$  である。したがって式(1)から、溶出速度は時間に關係せず一定となる。

$$F = DC_0 \quad (2)$$

ところが実験結果の図-3 から明らかであるが、溶出速度は時間とともに変化していくから、コンクリートからの累積溶出量の溶出は表面のセメントへの溶解のみによつて説明できるものではない。

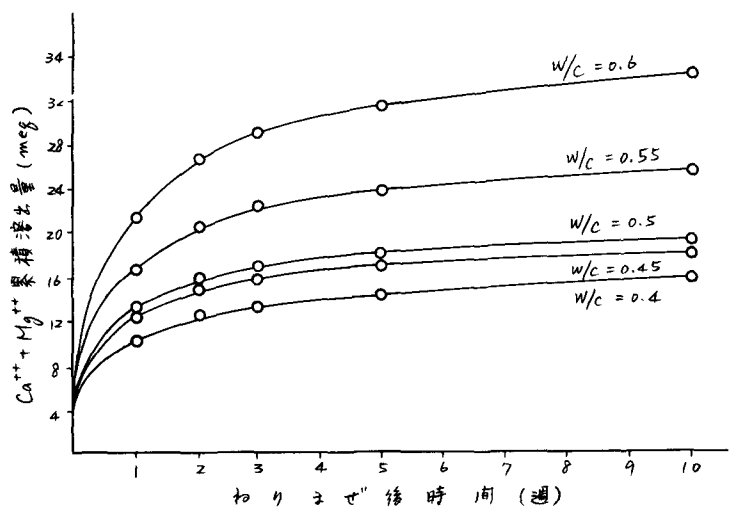


図-3  $\text{Ca}^{++} + \text{Mg}^{++}$  累積溶出量と水・セメント比

は明らかである。

つきにコンクリート体中の拡散速度によつて無機質の溶出が律速である場合を考える。一般に液相中の、レムガウジ境界層中の分子アイオンの拡散速度は、固体内部には多孔体内での拡散速度に比べて大きいから、コンクリート体内の内部拡散が溶出が律速である。以下断面積A、長さLの円筒の工面から溶出が起る場合を考える。円筒下部に厚さをとり、円筒の主軸の工方向にX軸をとると、拡散方程式は

$$\frac{\partial C}{\partial t} = D \frac{\partial^2 C}{\partial X^2} \quad (3)$$

$$\begin{aligned} &\text{示される。条件として } C(X, 0) = C_0, \quad -L \leq X \leq L \\ &C(X, 0) = 0 \quad |X| > L \\ &\left. \frac{\partial C}{\partial X} \right|_{X=0} = 0 \end{aligned} \quad \left. \right\} \quad (4)$$

をとるにせよ、その解は

$$C = \frac{1}{2} C_0 \left\{ \operatorname{erf} \frac{L-X}{z\sqrt{Dt}} + \operatorname{erf} \frac{L+X}{z\sqrt{Dt}} \right\} \quad (5)$$

$X = L$  すなわち、円筒工面における溶出速度  $F$  は

$$\begin{aligned} F &= -D \frac{\partial C}{\partial X} = -\frac{C_0 D}{z\sqrt{\pi Dt}} \left\{ e^{-\left(\frac{L+X}{z\sqrt{Dt}}\right)^2} - e^{-\left(\frac{L-X}{z\sqrt{Dt}}\right)^2} \right\} \\ &= \frac{C_0}{z} \sqrt{\frac{D}{\pi t}} \left( 1 - e^{-\frac{L^2}{Dt}} \right) \end{aligned} \quad (6)$$

これより、ところどり固体内部の拡散速度は一般にさわめて小さく、溶出に關係する内部拡散は固相表面のところどり薄層で生じるから、 $L^2/Dt$  は比較して小さく、レムガウジ層  $e^{-\frac{L^2}{Dt}}$  は見えてよい。このことは内奥部固相での拡散は、溶出にはほとんど関係しないことを示している。さて  $F$  は

$$F = \frac{C_0}{z} \sqrt{\frac{D}{\pi t}} \quad (7)$$

そして累積溶出量  $M$  は、 $F$  の時間積分で与えられるから

$$M = A \int_0^t F dt = \frac{AC_0}{2} \cdot \sqrt{\frac{D}{\pi}} \int_0^t \frac{dt}{\sqrt{t}} = AC_0 \sqrt{\frac{Dt}{\pi}} \quad (8)$$

ここで  $A$  は円筒の断面積である。このことは、溶出速度は  $\sqrt{t}$  に反比例し、累積溶出量は  $\sqrt{t}$  に比例するこことを示すのである。両対数紙上に関係をプロットすれば、直線が得られるはずである。図-4 は  $\text{Ca}^{++} + \text{Mg}^{++}$  の溶出速度の時間的变化を両対数紙上にプロットしたものである。各 case とも凡てを直線関係にみるこである。したがって式-(7)より直線の勾配は  $\frac{1}{2}$  となるべきであるが、その傾向を示すものは W/C が 0.4 の場合だけである。

さて、(1)式を用いて  $D$  を計算するには、 $C_0$  すなわちセメント粒子間隙中の無機物濃度を知らなければならぬ。村山<sup>(2)</sup>は鉄製の液相抽出試験装置を作成し、これを  $300 \text{ kg}/\text{cm}^2$  の圧力を加え、溶出

液をすり水やかに減圧ろ過してろ液の一定量を  $\frac{2}{5}N HCl$  で滴定した後,  $CaO$ ,  $SO_3$  などを定量してみる。また竹本等<sup>(5)</sup>はセメント 500 g とペーストを作り, 二水を内径 8 cm の円筒形压搾器に入れ, 500 kg/cm<sup>2</sup> の圧力をかけ, 繻り出された液 30~50 cc を  $H_2O$ ,  $Ca^{++}$  を測定してみる。両実験の結果から見ると, セメントペースト液相中の  $Ca^{++}$  が 20 meq/l,  $OH^-$  が 40 meq/l 程度含まれてゐるようであるが, 二水の性質はセメント中のものとは思われない。そこで拡散係数  $D$  の order estimation を  $3 \sim 4$  と,  $C_0$

をコンクリートの中の含水量のカルシウム量から推定する。すなはちコンクリート中の原灰分の  $Ca$  量を表-1 を用いて計算すると,  $C_0 = 3.6$  meq/ml を得る。  $W/C = 0.4$  の場合,  $t = 1$  日における溶出速度  $F$  は表-2 より  $F = 0.132$  meq/cm<sup>2</sup>.day であるから(7)式より

$$D = \left( \frac{2F}{C_0} \right)^2 \pi t = \left( \frac{2 \times 0.132}{3.6} \right)^2 \times \pi = 1.66 \times 10^{-2} \text{cm}^2/\text{day} = 1.92 \times 10^{-7} \text{cm}^2/\text{sec}$$

分子拡散係数が  $10^{-5} \text{cm}^2/\text{sec}$  であるから, それより内部の拡散係数は 2 行程度小さい数値であることがわかる。

さて, 最後にコンクリートは固化中にその化学的性質が変化するため  $C_0$  も時間の函数とは言ひ得ないが, コンクリートの固化的過程は化学的にまだ未解明の分野であるので, 定量的の取扱いにはできない。しかし, 実験結果によればコンクリート体よりの素機質の溶出が一応内部拡散により速くされるとして説明がつけられる以上, コンクリートの化学的性質の変化による溶出型拡散型であると思てよいであろう。

#### 4. 溶出に關係するコンクリートの厚さ

コンクリートからの素機質の溶出は, 前の考察でコンクリート内奥部の拡散にはあまり關係せず, いく表面の部分から, 内部拡散により流水中に溶出するといふのがわかるが, 實際問題として現場打ちコンクリートよりの素機質溶出が, コンクリートの体積に關係するのか, 水との接觸面積に關係するのかは重要な問題であるので, ここに溶出に關係するコンクリートの厚さを求める実験を示す。

##### 4. 1 実験方法

3. 1 と同じ砂利: 砂:セメントの配合で,  $W/C$  比を 0.5 としコンクリートを, 直径 8.4

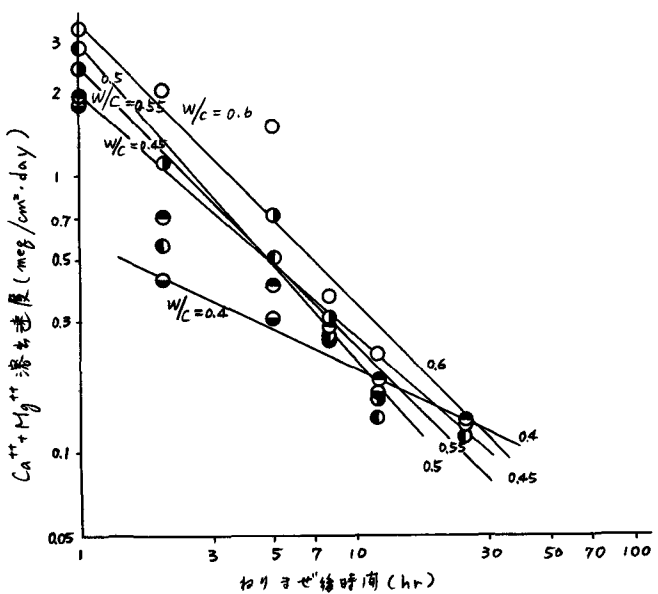


図-4 溶出速度の時間的変化

cm, 長さ 40 cm の 1 l メスリニアーチー中に、厚さ 0.8, 1.4, 2.9, 6.2 cm の 3 種類を打設した。打設後直ちにセメント粒子が漏れ出るのを防ぐために静かに蒸留水を 500 ml 加え、さらに空気中から  $\text{CO}_2$  の液中に入るのを防ぐために流動パラフィンで封じ蒸留水を 1, 3, 5, 7, 12, 24 時、2, 3, 4, 5, 6, 7 日、2, 3, 5, 13 週間毎に交換して溶出した  $\text{OH}^-$ ,  $\text{HCO}_3^-$ ,  $\text{CO}_3^{2-}$ ,  $\text{Ca}^{++} + \text{Mg}^{++}$  を測定した。

#### 4. 2 実験結果および考察

$\text{Ca}^{++} + \text{Mg}^{++}$  累積溶出量の週変化を図-5 に示す。各体積 25 cm<sup>3</sup> の pH と  $\text{Ca}^{++} + \text{Mg}^{++}$  溶出速度を図-6 に示す。 $\text{pH}$  は 11 よりやや低いが一定であり、溶出速度は体積 25 cm<sup>3</sup> の場合を除いて、1 時間後での  $\text{Ca}^{++} + \text{Mg}^{++}$  の溶出速度はらかうが、その後はほぼ同じ値となる。体積 25 cm<sup>3</sup> の場合、3 時間後での溶出速度が他の 3 者より低いが、時間とともにその差は小さくなる。アルカリ度溶出速度も同様である。以上の実験結果から、コンクリートからの累積溶出量は、その厚さが 1.4 cm 以上あれば、体積ではなく表面積に比例する = 20% である。

より低いが、時間とともにその差は小さくなる。アルカリ度溶出速度も同様である。以上の実験結果から、コンクリートからの累積溶出量は、その厚さが 1.4 cm 以上あれば、体積ではなく表面積に比例する = 20% である。

#### 5. コンクリートに対する地下 水水質の変化

以上により、コンクリートより溶出する累積溶出量は水とコンクリートとの接触面積に関係し、体積にはほとんど影響しないことを知り、さらにその数量を推定できるが、実際の現場打ちコンクリート杭に対する地下水の水質の変化は、地下水の流動のため、溶出物質が拡散され、また土砂や地下水と相互に化学反応を起こして、複雑な動きをするものと考えられる。そこでアクリル板で模型地下層を作り、土砂をつめ、水道水を流し、二の中に入

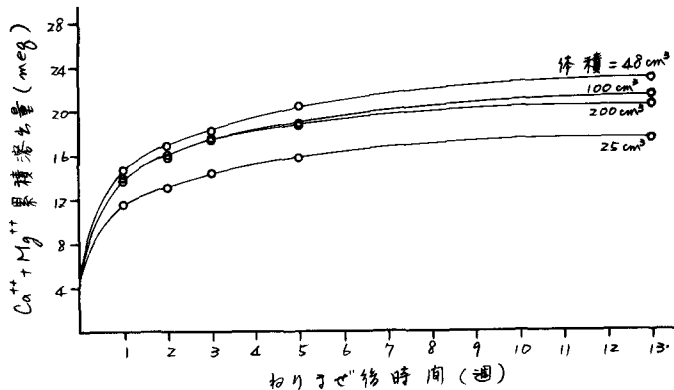


図-5  $\text{Ca}^{++} + \text{Mg}^{++}$  累積溶出量と体積

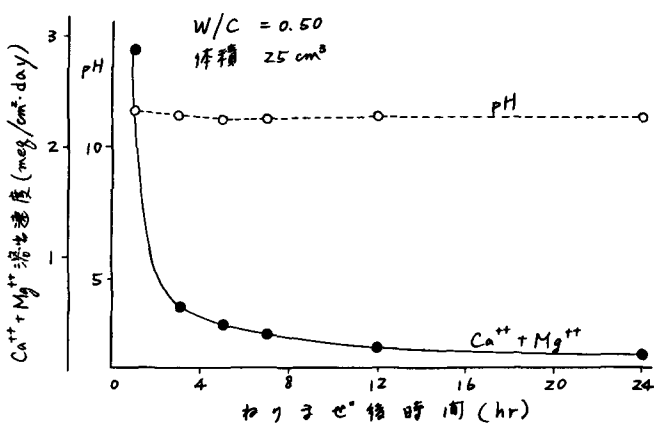


図-6 pH と  $\text{Ca}^{++} + \text{Mg}^{++}$  溶出速度(体積 25 cm<sup>3</sup> の場合)

ンクリートを打設して、水質の変化を測定した。

### 5.1 実験方法

中 50 cm、長さ 100 cm、高さ 24 cm の、流入と流出端を有する模型槽を作成し、地下水層で採取した砂を詰め、流入端より 34 cm のところに直径 15 cm、高さ 17 cm のブリキ製円筒を立て、その中の砂を除去して後、 $\bar{W}/C = 0.45$  の配合は前実験で使用してコンクリートを打ち込み、流速 0.04 cm/min の水道水を通水して、流出端の pH、水温、流速、総アルカリ度、 $Ca^{++}$  +  $Mg^{++}$  を測定した。実験装置を写真-2 に示す。

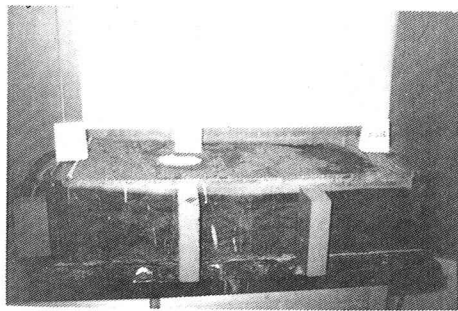


写真-2

### 5.2 実験結果および考察

実験はコンクリート打設後 41 日目で行なった。pH と  $Ca^{++}$  +  $Mg^{++}$  の変化を図-7 に示す。pH は、流入水が常に 6.9 ~ 7.0 であるのに対し、流出水は 1 日後も 8.0 ~ 8.3 であり、総アルカリ度、 $Ca^{++}$  +  $Mg^{++}$  も約 0.8 meq/l の流入して水道水が 1.4 meq/l と上昇して流出している。図-7 から流入水の  $Ca^{++}$  +  $Mg^{++}$  濃度と流出水の変動が対応していき思われる。3.4 の batch 実験では、コンクリートから  $Ca^{++}$ 、アルカリの溶出は時間とともに変化していくが、この連続実験では全実験期間を通じて溶出量がほぼ一定で、pH も変化せず、これが对照的である。流出水と流入水の  $Ca^{++}$  +  $Mg^{++}$  濃度差と流量から溶出速度および累積溶出量を求め、これを実験(3)の結果と比較して図-8 に示す。連続実験の場合、溶出量の時間的減少量の少ないのは土砂の有する緩衝作用によるべきものと想われるが、初期には急激に溶出して  $Ca$  イオンが  $CaCO_3$  によって沈降し、

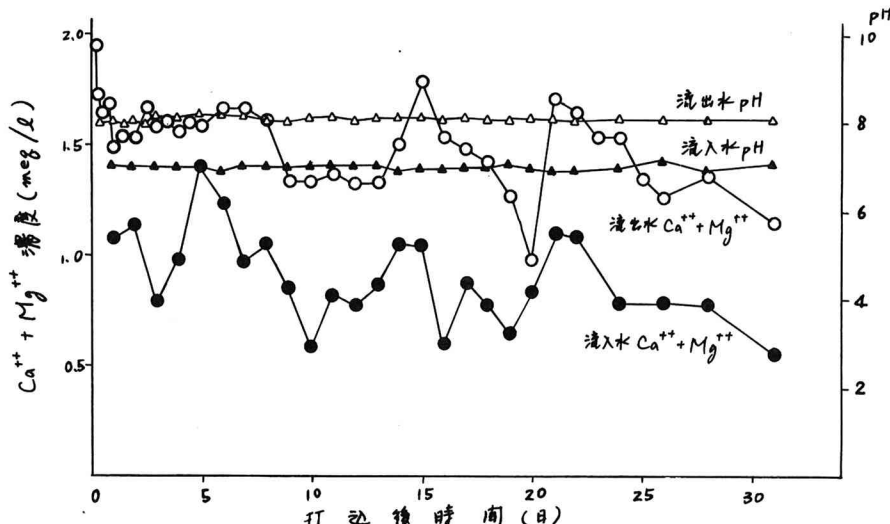


図-7 現場打ちコンクリートによる地下水水質変化

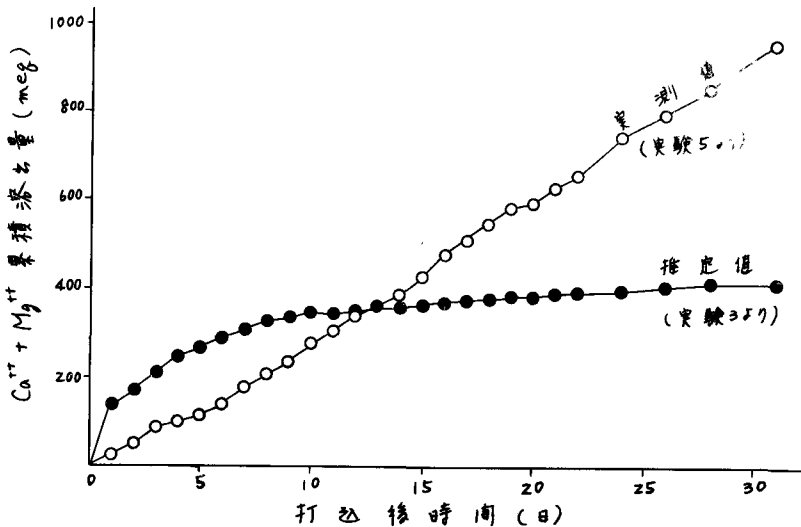


図-8  $\text{Ca}^{++} + \text{Mg}^{++}$  累積溶出量の推定値と実測値

徐々に雨が溶出しにものと推察される。推定溶出速度が実測値より大きい最初の7日前に沈降が起り、その後、推定溶出速度が実測値より小さくなると、一旦土砂粒子の上の沈降層の  $\text{CaCO}_3$  が雨溶出しにものとみよう。図-8からわからように、実測値は推定値の約3倍に達しているが、これはコンクリートからの無機質の溶出が、静止した水よりも流動している水に対して、より多いことを示している。

#### 6. むすび

現場打ちベンチ杭による流速の変化は、ほとんどの地下水水質に影響を及ぼさないことがわかり、またベンチ杭からのセメント成分の溶出に関しても、セメント比の効果はその値が大きいほど溶出量、溶出速度が増加する。そして体積より水との接触表面積に比例する。また地下盤模型槽の実験から、土砂の持つ緩衝作用のために、蒸留水中への無機質の溶出の場合に比べて、その変化は時間的に平均化される。これはコンクリートより溶出される物質が、初期には  $\text{CaCO}_3$  として土砂の表面に沈殿し、後ほど溶解するものと思われる。2, 3の実験により、ある程度のベンチ杭による地下水水質への影響を推定しがれど、まだ新たな問題点が提示され、今後さらに研究を進むことを望む。

#### 参考文献

- (1) 竹本国博、高橋秀夫、高本茂業；各種セメントのモルタルよりの石灰溶出率とそれが強度に及ぼす影響、セメント技術年報、13(1959)
- (2) 村上義一；ポルトランドセメントの偽凝結一主としてセメントペースト抽出液相組成について、セメント技術年報、11(1957)
- (3) 竹本国博、鈴木節三；凝結時に及ぼすポルトランドセメントペーストの液相組成の変化、セメント技術年報、11(1957)